

278  
ISSN 0021-3470

ИЗВЕСТИЯ  
ВЫСШИХ УЧЕБНЫХ  
ЗАВЕДЕНИЙ



# РАДИОЭЛЕКТРОНИКА

том 52

7-8  
июль-август

ИЗДАНИЕ  
НАЦИОНАЛЬНОГО  
ТЕХНИЧЕСКОГО  
УНИВЕРСИТЕТА  
УКРАИНЫ  
«КИЕВСКИЙ  
ПОЛИТЕХНИЧЕСКИЙ  
ИНСТИТУТ»

2009

## БИБЛИОГРАФИЧЕСКИЙ СПИСОК

1. Радченко Ю. С. Быстрое обнаружение и оценка параметра сдвига сигналов, сжатых с помощью ортогональных полиномов / Ю. С. Радченко, А. Ю. Кожин, М. Ю. Радченко // Радиотехника. — 1999. — № 6. — С. 17–19.
2. Радченко Ю. С. Метод сжатия и восстановления изображений на основе быстрых четырехзвенных преобразований // Автометрия. — 2002. — № 4. — С. 32–40.
3. Денисенко А. Н. Сигналы. Теоретическая радиотехника. Справочное пособие. — М.: Горячая линия — Телеком, 2005. — 704с.
4. Pratt W.K. Digital Image Processing.: PIKS Inside John Wiley & Sons, inc., Third Edition, 2001, — p.723.

ВГУ, Воронеж

Поступила в редакцию 11.11.08

УДК 621.391

ТРИФОНОВ А. П., КУЦОВ Р. В., ПЕТЕЩЕНКОВ Э. В.

### ЭФФЕКТИВНОСТЬ ОБНАРУЖЕНИЯ ДВИЖУЩЕГОСЯ В НЕИЗВЕСТНОМ НАПРАВЛЕНИИ ОБЪЕКТА ПРИ НЕИЗВЕСТНЫХ ИНТЕНСИВНОСТЯХ ЕГО ИЗОБРАЖЕНИЯ И ФОНА\*

Выполнены синтез и анализ максимально правдоподобного алгоритма обнаружения движущегося в неизвестном направлении про странственно протяженного объекта в условиях априорной неопределенности относительно интенсивностей его изображения и аппликативного фона. Исследовано влияние априорного незнания интенсивностей изображения объекта и фона на характеристики обнаружения.

Необходимость обнаружения объектов по их изображениям возникает, как правило, в процессе обработки результатов дистанционного наблюдения [1]. Обычно объекты наблюдаются на некоторой подстилающей поверхности, и сигнал, рассеянный этой поверхностью, образует фоновое излучение (фон). Высокая разрешающая способность современных систем дистанционного наблюдения требует учета эффекта затенения пространственно протяженным объектом (ППО) части подстилающей поверхности [2, 3]. В [4] исследованы потенциальные возможности обнаружения движущегося в неизвестном направлении ППО в предположении, что интенсивности изображения объекта и фона априори заданы. Однако обычные условия формирования и пе-

\* Работа выполнена при поддержке РФФИ (проект 07-01-00042).

редачи изображений часто приводят к тому, что интенсивности изображения объекта и фона могут быть априори неизвестны [1].

Целью работы являются синтез и анализ максимально правдоподобного (МП) алгоритма обнаружения движущегося в неизвестном направлении ППО в условиях априорной неопределенности относительно интенсивностей его изображения и фона.

Пусть в двумерной области  $\Omega$  в течение интервала времени  $[0, T]$  наблюдению доступна реализация гауссовского случайного поля  $\Xi(x, y, t)$ , где  $t$  — время, а  $(x, y)$  — координаты принадлежащей области  $\Omega$  точки в прямоугольной системе координат  $XY$ . Положим, что при гипотезе  $H_1$  поле  $\Xi(x, y, t)$  содержит изображение  $s(x - V_0 t \cos \varphi_0, y - V_0 t \sin \varphi_0)$  объекта, движущегося с известной скоростью  $V_0$  из заданного положения в априори неизвестном направлении, составляющем угол  $\varphi_0$  с осью  $X$ , неподвижный фон  $v(x, y)$  и аддитивный гауссовский пространственно-временной белый шум  $n(x, y, t)$  с односторонней спектральной плотностью  $N_0$ . При гипотезе  $H_0$  поле  $\Xi(x, y, t)$  содержит фон  $v(x, y)$  и аддитивный шум  $n(x, y, t)$ .

В соответствии с аппликативной моделью [2–6], учитывющей эффекты затенения объектом участка фона, полагаем, что изображение объекта занимает часть  $\Omega_{ob}$  области  $\Omega$ , а фон — оставшуюся часть области наблюдения. При отсутствии объекта фон занимает всю область наблюдения. Тогда в течение интервала времени  $[0, T]$  наблюдению доступна реализация изображения

$$\begin{aligned} \Xi(x, y, t) = & \gamma_0 a_0 s_1(x - V_0 t \cos \varphi_0, y - V_0 t \sin \varphi_0) \times \\ & I_{ob}(x - V_0 t \cos \varphi_0, y - V_0 t \sin \varphi_0) + b_0 v_1(x, y)[1 - \\ & -\gamma_0 I_{ob}(x - V_0 t \cos \varphi_0, y - V_0 t \sin \varphi_0)] + n(x, y, t), \end{aligned} \quad (1)$$

где  $\gamma_0 = 0$ , когда справедлива гипотеза  $H_0$ , и  $\gamma_0 = 1$ , если справедлива гипотеза  $H_1$ ;  $a_0 = \max s(x, y)$  и  $b_0 = \max v(x, y)$  — истинные значения априори неизвестных интенсивностей изображения объекта и фона;  $s_1(x, y) = s(x, y) / a_0$ ,  $v_1(x, y) = v(x, y) / b_0$ , так что  $\max s_1(x, y) = 1$ ,  $\max v_1(x, y) = 1$ ;  $I_{ob}(x, y) = 1$  при  $(x, y) \in \Omega_{ob}$  и  $I_{ob}(x, y) = 0$  при  $(x, y) \notin \Omega_{ob}$  — индикатор, описывающий форму изображения объекта. При этом предполагается, что угол  $\varphi_0 \in U = [\varphi_{min}, \varphi_{max}]$ , причем  $0 \leq \varphi_{min} < \varphi_{max} < 2\pi$ .

Для решения задачи проверки гипотезы  $H_1$  против альтернативы  $H_0$  необходимо формировать логарифм функционала отношения правдоподобия (ФОП), определяемый как разность логарифмов ФОП при проверке гипотез  $H_1$  и  $H_0$  против простой альтернативы  $H$  о наличии в реализации наблюдаемых данных только гауссовского белого шума  $n(x, y, t)$  [5]:  $L(\varphi) = L_1(a, b, \varphi) - L_0(b)$ , где

$$L_1(a, b, \varphi) = \frac{2}{N_0} \int_0^T \iint_{\Omega} \Xi(x, y, t) \{ [as_1(x - V_0 t \cos \varphi, y - V_0 t \sin \varphi) - bv_1(x, y)] \times \\ \times I_{06}(x - V_0 t \cos \varphi, y - V_0 t \sin \varphi) + bv_1(x, y) \} dx dy dt - \\ - \frac{1}{N_0} \int_0^T \iint_{\Omega} \{ [a^2 s_1^2(x - V_0 t \cos \varphi, y - V_0 t \sin \varphi) - b^2 v_1^2(x, y)] \times \\ \times I_{06}(x - V_0 t \cos \varphi, y - V_0 t \sin \varphi) + b^2 v_1^2(x, y) \} dx dy dt,$$

$$L_0(b) = \frac{2b}{N_0} \int_0^T \iint_{\Omega} \Xi(x, y, t) v_1(x, y) dx dy dt - \frac{b^2 T}{N_0} \iint_{\Omega} v_1^2(x, y) dx dy.$$

С целью повышения эффективности обнаружения при неизвестных интенсивностях изображения объекта и фона целесообразно одновременно производить оценку неизвестных интенсивностей [5, 7, 8]. Заменяя значения неизвестных интенсивностей на их оценки МП, получаем выражение для логарифма ФОП в случае, когда интенсивности изображения объекта и фона априори неизвестны [5]:

$$L_m(\varphi) = \sup_{a, b} L_1(a, b, \varphi) - \sup_b L_0(b) = \\ = \frac{\left[ \int_0^T \iint_{\Omega} \Xi(x, y, t) s_1(x - V_0 t \cos \varphi, y - V_0 t \sin \varphi) I_{06}(x - V_0 t \cos \varphi, y - V_0 t \sin \varphi) dx dy dt \right]^2}{N_0 \int_0^T \iint_{\Omega} s_1^2(x - V_0 t \cos \varphi, y - V_0 t \sin \varphi) I_{06}(x - V_0 t \cos \varphi, y - V_0 t \sin \varphi) dx dy dt} + \\ + \frac{\left[ \int_0^T \iint_{\Omega} \Xi(x, y, t) v_1(x, y) [1 - I_{06}(x - V_0 t \cos \varphi, y - V_0 t \sin \varphi)] dx dy dt \right]^2}{N_0 \int_0^T \iint_{\Omega} v_1^2(x, y) [1 - I_{06}(x - V_0 t \cos \varphi, y - V_0 t \sin \varphi)] dx dy dt} - \\ - \frac{\left[ \int_0^T \iint_{\Omega} \Xi(x, y, t) v_1(x, y) dx dy dt \right]^2 / N_0 T \iint_{\Omega} v_1^2(x, y) dx dy}{N_0 T \iint_{\Omega} v_1^2(x, y) dx dy}. \quad (2)$$

Если направление движения объекта априори известно [5], то решение о наличии или отсутствии изображения объекта в области наблюдения выносится путем сравнения величины  $L = L_m(\varphi_0)$  с порогом  $h$ , определяемым выбранным критерием оптимальности [9]. Если

$$L > h, \quad (3)$$

то выносится решение о наличии изображения объекта в наблюдаемой реализации; в противном случае — о его отсутствии.

Для того чтобы исключить влияние неизвестного направления движения, заменим неизвестное значение угла  $\phi$  его оценкой МП [7]. При этом решение о наличии изображения объекта выносится в соответствии с правилом (3), где  $L = \sup L_m(\phi)$ ,  $\phi \in U$ , а порог  $h$  определяется выбранным критерием оптимальности. Отметим, что алгоритм обнаружения объекта при неизвестных интенсивностях его изображения и фона является существенно нелинейным в отличие от случая, когда эти интенсивности априори известны [4].

Положим далее, что изображение объекта и фон являются равномерными, то есть  $s_1(x, y) = 1$ ,  $v_1(x, y) = 1$ . Подставляя в (2) реализацию наблюдаемых данных (1), получим:

$$L_m(\phi) = \frac{\kappa}{2(\kappa-1)} \left[ \gamma_0 z \left( S(\phi, \phi_0) - \frac{1}{\kappa} \right) + N(\phi) - \frac{\xi}{\sqrt{\kappa}} \right]^2, \quad (4)$$

где  $z = |a_0 - b_0| \sqrt{2G_{ob}T/N_0}$ ,

$$S(\phi, \phi_0) = \frac{1}{G_{ob}T} \times$$

$$\times \int_0^T \iint_{\Omega} J_{ob}(x - V_0 t \cos \phi, y - V_0 t \sin \phi) J_{ob}(x - V_0 t \cos \phi_0, y - V_0 t \sin \phi_0) dx dy dt, \quad (5)$$

$N(\phi)$  — реализация гауссовского случайного процесса с нулевым средним значением и корреляционной функцией

$$\langle N(\phi_1)N(\phi_2) \rangle = S(\phi_1, \phi_2), \quad (6)$$

а  $\xi$  — гауссовская случайная величина с нулевым средним значением и единичной дисперсией, причем коэффициент корреляции между случайнм процессом  $N(\phi)$  и случайной величиной  $\xi$  равен  $R_{N\xi} = \langle N(\phi)\xi \rangle = 1/\sqrt{\kappa}$ . Здесь  $G_{ob}$  — площадь изображения объекта,  $\kappa = G_\Omega / G_{ob}$  — отношение площади области наблюдения  $\Omega$  к площади объекта ( $\kappa > 1$ ). Отметим, что  $\max S(\phi, \phi_0) = S(\phi_0, \phi_0) = 1$ .

В случае, когда контур изображения объекта является выпуклым, при  $|\phi - \phi_0| \rightarrow 0$  функция (5) допускает асимптотическое представление [4]

$$S(\phi, \phi_0) = 1 - \delta(\phi_0)|\phi - \phi_0| + o(|\phi - \phi_0|), \quad (7)$$

где  $\delta(\phi) = TV_0 l(\phi) / 2G_{ob}$ , а  $l(\phi)$  — максимальный размер изображения объекта в направлении, составляющем угол  $\phi$  с осью  $X$ .

Согласно (7), функция (5) не имеет второй производной при  $\varphi = \varPhi_0$ . Так как функция (5) является корреляционной функцией для  $N(\varphi)$ , реализации  $N(\varphi)$  недифференцируемы, хотя и непрерывны с вероятностью единица [7].

Найдем вероятность ложной тревоги  $\alpha_m$  для МП алгоритма обнаружения объекта, движущегося в неизвестном направлении, при неизвестных интенсивностях изображения объекта и фона. По определению [8, 9],

$$\alpha_m = P[\sup_{\varphi \in U} L_m(\varphi) > h | \gamma_0 = 0] \quad (8)$$

Согласно (4), (8), для определения вероятности ложной тревоги надо найти функцию распределения абсолютного (наибольшего) максимума реализации случайного процесса  $L_{m0}(\varphi) = \frac{\kappa}{2(\kappa-1)} \left[ N(\varphi) - \frac{\xi}{\sqrt{\kappa}} \right]^2 : F_0(h) = P[L_{m0}(\hat{\varphi}) < h]$  где  $\hat{\varphi}$  — положение абсолютного максимума  $L_m(\varphi)$  при  $\varphi \in U$  и отсутствии объекта в области наблюдения. Тогда вероятность ложной тревоги

$$\alpha_m = 1 - F_0(h) \quad (9)$$

Заметим, что

$$F_0(h) = P\left[\sup_{\varphi \in U} \frac{|\sqrt{\kappa}N(\varphi) - \xi|}{\sqrt{\kappa-1}} < \sqrt{2h}\right] = P^2\left[\sup_{\varphi \in U} \Lambda_0(\varphi) < \sqrt{2h}\right] = F_N^2(\sqrt{2h}), \quad (10)$$

где  $F_N(u) = P[\sup \Lambda_0(\varphi) < u, \varphi \in U]$  — функция распределения величины абсолютного максимума центрированного гауссовского случайного процесса  $\Lambda_0(\varphi) = [\sqrt{\kappa}N(\varphi) - \xi]/\sqrt{\kappa-1}$ .

Согласно (5), (6), случайный процесс  $N(\varphi)$  является неоднородным, что не позволяет непосредственно воспользоваться результатами [7, 8] для определения функции распределения  $F_N(u)$ . Аналогично тому, как это сделано в [4, 10], разобьем априорную область  $U$  возможных значений угла  $\varphi$  на  $I$  отрезков  $U_i = [\varphi_i, \varphi_i + \Delta\varphi_i]$  длиной  $\Delta\varphi_i$ ,  $i = \overline{1, I}$ , так, что

$$d = \max_i \Delta\varphi_i \ll 1 \quad (11)$$

Тогда при  $d \rightarrow 0$  на каждом отрезке  $U_i$  случайный процесс  $N(\varphi)$  можно считать локально однородным. Потребуем кроме того, чтобы значения процесса  $N(\varphi)$  на различных интервалах  $U_i$  были приближенно статистически независимы. Для этого достаточно, чтобы

$$\min_i (V_0 T \Delta\varphi_i) \gg l_{\max}, \quad (12)$$

где  $l_{\max}$  — максимальный размер объекта. При выполнении (11), (12) вероятность  $F_N(u)$  можно записать в виде

$$F_N(u) \approx \prod_{i=1}^I F_{N_i}(u), \quad (13)$$

где  $F_{N_i}(u) = P[\sup \Lambda_0(\varphi) < u, \varphi \in U_i]$  — функция распределения величины абсолютного максимума случайного процесса  $\Lambda_0(\varphi)$  в подобласти  $U_i$ ,  $i = \overline{1, I}$ .

Будем считать порог  $u$  достаточно большим, так что вероятность  $F_{N_i}(u)$  непревышения этого порога реализацией случайного процесса  $\Lambda_0(\varphi)$  на интервале  $U_i$  определяется только локальным поведением его корреляционной функции  $B_0(\varphi_1, \varphi_2) = [\kappa S(\varphi_1, \varphi_2) - 1]/(\kappa - 1)$  в окрестности максимума [7, 8]. При  $\varphi_1, \varphi_2 \in U_i$  и  $|\varphi_1 - \varphi_2| \rightarrow 0$  корреляционная функция  $B_0(\varphi_1, \varphi_2)$  процесса  $\Lambda_0(\varphi)$  допускает асимптотическое представление

$$B_0(\varphi_1, \varphi_2) = 1 - \frac{\kappa \delta(\varphi_i)}{\kappa - 1} |\varphi_1 - \varphi_2| + o(|\varphi_1 - \varphi_2|). \quad (14)$$

В [8] с использованием метода локально марковской аппроксимации получено асимптотическое выражение для функции распределения величины абсолютного максимума центрированного гауссовского случайного процесса, корреляционная функция которого допускает представление (14):

$$F_{N_i}(u) \approx \exp \left[ -\Delta \varphi_i \kappa \delta(\varphi_i) u \exp(-u^2/2) / \sqrt{2\pi(\kappa-1)} \right] \quad (15)$$

при  $u \geq 1$ , и  $F_{N_i}(u) \approx 0$  при  $u < 1$ . Подставляя (15) в (13), получаем, что функция распределения величины абсолютного максимума случайного  $\Lambda_0(\varphi)$  процесса при  $\varphi \in [\varphi_{\min}, \varphi_{\max}]$  и отсутствии объекта в области наблюдения может быть записана в виде

$$F_N(u) \approx \exp \left[ -\frac{\kappa u}{\sqrt{2\pi(\kappa-1)}} \exp(-u^2/2) \sum_{i=1}^I \delta(\varphi_i) \Delta \varphi_i \right] \quad (16)$$

при  $u \geq 1$ , и  $F_N(u) \approx 0$  при  $u < 1$ . При выполнении (11), (12) величина  $\delta(\varphi_i)$  мало изменяется в пределах любого из отрезков  $U_i$ , а вероятность  $F_N(u)$  не зависит от способа разбиения априорного интервала  $U$  на отрезки  $U_i$ . Эти обстоятельства позволяют заменить в (16) сумму соответствующим интегралом:

$$F_N(u) \approx \exp \left[ -m \kappa u \exp(-u^2/2) / \sqrt{2\pi(\kappa-1)} \right] \quad (17)$$

при  $u \geq 1$ , и  $F_N(u) \approx 0$  при  $u < 1$ . Здесь

$$m = \int_{\varphi_{\min}}^{\varphi_{\max}} \delta(\varphi) d\varphi = \frac{T V_0}{2 G_{ob}} \int_{\varphi_{\min}}^{\varphi_{\max}} l(\varphi) d\varphi \quad (18)$$

— приведенная длина априорного интервала возможных значений угла  $\varphi$ . Подставляя (17) в (10) и используя результат в (9), получаем, что вероятность

ложной тревоги при обнаружении движущегося в неизвестном направлении объекта в условиях априорной неопределенности относительно интенсивностей его изображения и фона, определяется выражением

$$\alpha_m \approx 1 - \exp \left[ -\frac{2km}{\kappa-1} \sqrt{\frac{h}{\pi}} \exp(-h) \right] \quad (19)$$

при  $h \geq 1/2$ , и  $\alpha_m \approx 1$  при  $h < 1/2$ . Точность формулы (19) повышается с увеличением параметра  $m$  и порога  $h$ .

Определим теперь вероятность пропуска объекта  $\beta_m = P[\sup_{\phi \in U} L_m(\phi) < h | \gamma_0 = 1]$ , полагая, что его изображение присутствует в наблюдаемой реализации, то есть в (4)  $\gamma_0 = 1$ . Представим (4) в виде суммы сигнальной и шумовой функций [7, 11]:

$$L_m(\phi) = \hat{S}(\phi, \phi_0) + \hat{N}(\phi) + 1/2. \quad (20)$$

Здесь

$$\hat{S}(\phi, \phi_0) = \langle L_m(\phi) \rangle - 1/2 = \frac{z^2 \kappa}{2(\kappa-1)} \left[ S(\phi, \phi_0) - \frac{1}{\kappa} \right]^2 \quad (21)$$

— сигнальная функция, негауссовская шумовая функция  $\hat{N}(\phi) = L_m(\phi) - \langle L_m(\phi) \rangle$  центрирована и обладает корреляционной функцией

$$\hat{B}(\phi_1, \phi_2) = \langle \hat{N}(\phi_1) \hat{N}(\phi_2) \rangle = \frac{\kappa^2}{(\kappa-1)^2} \times \\ \times \left\{ z^2 \left[ S(\phi_1, \phi_2) - \frac{1}{\kappa} \right] \left[ S(\phi_1, \phi_0) - \frac{1}{\kappa} \right] \left[ S(\phi_2, \phi_0) - \frac{1}{\kappa} \right] + \frac{1}{2} \left[ S(\phi_1, \phi_2) - \frac{1}{\kappa} \right]^2 \right\}, \quad (22)$$

а функция  $S(\phi_1, \phi_2)$  определена в (5).

Обозначим через  $U_S$  тот из отрезков множества отрезков  $U_i$ ,  $i = \overline{1, I}$ , на котором сигнальная функция  $\hat{S}(\phi, \phi_0)$  существенно отлична от нуля [7], а через  $U_N$  — множество отрезков, дополняющее  $U_S$  до  $U$ . Обозначим  $M_S = \sup_{\phi \in U_S} L_m(\phi) = L_m(\hat{\phi})$  и  $M_N = \sup_{\phi \in U_N} L_m(\phi)$  — величины абсолютных максимумов случайного процесса (4) при  $\gamma_0 = 1$  в подобластях  $U_S$  и  $U_N$  соответственно. Здесь  $\hat{\phi}$  — положение абсолютного максимума  $L_m(\phi)$  при  $\phi \in U_S$ . При выполнении условия (12) величины  $M_S$  и  $M_N$  приближенно статистически независимы [8], так что для вероятности пропуска объекта имеем:

$$\beta_m \approx P[M_N < h]P[M_S < h] \approx F_0(h)F_S(h) = (1 - \alpha_m)F_S(h), \quad (23)$$

где  $F_0(h)$  определяется формулами (10), (17), а  $F_S(h) = P[M_S < h]$  — функция распределения величины абсолютного максимума логарифма ФОП на отрезке  $U_S$ .

Согласно (7), сигнальная функция (21) достигает максимума при  $\varphi = \varphi_0$ , следовательно, выходное отношение сигнал/шум (ОСШ) [7, 11] равно

$$\tilde{z}^2 = \hat{S}^2(\varphi_0, \varphi_0)/\hat{B}(\varphi_0, \varphi_0) = z^4 / 2(2z^2 + 1 - 1/\kappa)(1 - 1/\kappa). \quad (24)$$

Положим, что выходное ОСШ (24) достаточно велико. Обозначим  $\Delta = \max(|\varphi_1 - \varphi_0|, |\varphi_2 - \varphi_0|, |\varphi_2 - \varphi_1|)$ . Устремляя  $\Delta \rightarrow 0$  и учитывая (7), получаем, что в малой окрестности  $\varphi_0$  для функций (21), (22) справедливы асимптотические разложения

$$\hat{S}(\varphi, \varphi_0) = z^2 \frac{\kappa - 1}{2\kappa} \left( 1 - \frac{2\kappa\delta(\varphi_0)}{\kappa - 1} |\varphi - \varphi_0| \right) + o(|\varphi - \varphi_0|), \quad (25)$$

$$\begin{aligned} \hat{B}(\varphi_1, \varphi_2) = & \left[ z^2 (\kappa - 1) / \kappa + 1/2 \right] \times \\ & \left\{ 1 - \frac{2\kappa\delta(\varphi_0)}{\kappa - 1} |\varphi_1 - \varphi_2| - \frac{2z^2 \delta(\varphi_0)}{z^2 (\kappa - 1) / \kappa + 1/2} \times \right. \\ & \times \min(|\varphi_1 - \varphi_0|, |\varphi_2 - \varphi_0|) + o(\Delta), (\varphi_1 - \varphi_0)(\varphi_2 - \varphi_0) > 0, \\ & \left. 1 - \frac{2\kappa\delta(\varphi_0)}{\kappa - 1} |\varphi_1 - \varphi_2| + o(\Delta), (\varphi_1 - \varphi_0)(\varphi_2 - \varphi_0) \leq 0. \right. \end{aligned} \quad (26)$$

Отметим, что при  $\varphi = \varphi_0$  логарифм ФОП (20) обладает плотностью вероятности  $w_0(L) = \exp(-L - z^2(\kappa - 1)/2\kappa) \operatorname{ch}(z\sqrt{2L(\kappa - 1)/\kappa})/\sqrt{\pi L}$  при  $L \geq 0$ ,  $w_0(L) = 0$  при  $L < 0$  [6]. Для логарифма ФОП с такой плотностью вероятности, первые два момента которого допускают представления (25), (26), в [8] с использованием метода локально-марковской аппроксимации найдено приближенное выражение для функции распределения величины абсолютного максимума логарифма ФОП  $L_m(\varphi)$  при  $\varphi \in U_S$ :

$$\begin{aligned} F_S(h) \approx & \\ \approx & \int_0^{\sqrt{2h}} \left[ 1 - \exp \left( -\frac{x^2 / 2 - h}{1 + \kappa / z^2 (\kappa - 1)} \right) \right]^2 \exp \left( -\frac{x^2 + z^2 (\kappa - 1) / \kappa}{2} \right) \operatorname{ch} \left( zx \sqrt{\frac{\kappa - 1}{\kappa}} \right) dx. \end{aligned} \quad (27)$$

Точность формулы (27) растет с увеличением  $z$  и порога  $h$ .

Подставляя (27) в (23), находим вероятность пропуска объекта, движущегося с известной скоростью в неизвестном направлении, при неизвестных интенсивностях его изображения и фона:

$$\beta_m \approx \exp\left[-\frac{2km}{\kappa-1}\sqrt{\frac{h}{\pi}}\exp(-h)\right] \times \\ \times \int_0^{\sqrt{2h}} \left[1 - \exp\left(\frac{x^2 / 2 - h}{1 + \kappa / z^2 (\kappa - 1)}\right)\right]^2 \exp\left(-\frac{x^2 + z^2 (\kappa - 1) / \kappa}{2}\right) \operatorname{ch}\left(zx\sqrt{\frac{\kappa-1}{\kappa}}\right) dx \quad (28)$$

при  $h \geq 1/2$ , и  $\beta_m \approx 0$  при  $h < 1/2$ .

Из (18), (19), (28) следует, что характеристики обнаружения зависят от скорости движения объекта  $V_0$ , причем эффективность обнаружения снижается при увеличении  $V_0$ .

Следует отметить, что полученные выражения справедливы, если за время  $T$  объект не покидает область наблюдения, двигаясь со скоростью  $V_0$  в секторе углов  $[\varphi_{\min}, \varphi_{\max}]$ . Минимальная площадь области наблюдения, при которой это условие выполняется, зависит от формы объекта и сектора возможных направлений его движения. Определим размеры области наблюдения, при которых это условие заведомо выполняется, то есть найдем минимальное значение площади области наблюдения, которую не покидает объект, двигаясь в любом направлении из сектора углов  $[0, 2\pi]$ . Пусть  $R$  — наименьший радиус окружности, полностью содержащей в себе изображение объекта. Тогда при  $t \in [0, T]$  объект будет находиться внутри окружности радиуса  $R + V_0 T$ . Следовательно, площадь области наблюдения должна быть не меньше  $\pi(R + V_0 T)^2$ . В соответствии с (18), в этом случае  $TV_0 = 2G_{ob}m / \int_0^{2\pi} l(\varphi)d\varphi$ , поэтому площадь области наблюдения должна быть не меньше  $\pi\left(R + 2G_{ob}m / \int_0^{2\pi} l(\varphi)d\varphi\right)^2$ .

Следовательно, параметр  $\kappa$  принимает значения из бесконечного полуинтервала  $[\kappa_{\min}, \infty)$ , где  $\kappa_{\min} = \frac{\pi}{G_{ob}} \left( R + 2G_{ob}m / \int_0^{2\pi} l(\varphi)d\varphi \right)^2$ . Найдем нижнюю мажорирующую оценку  $\kappa_{\min}$  для величины  $\kappa_{\min}$ . Учитывая, что  $\pi r^2 \leq G_{ob} \leq \pi R^2$ ,  $\int_0^{2\pi} l(\varphi)d\varphi = 4\pi r$ , где  $r$  — наибольший радиус окружности, целиком содержащейся внутри изображения объекта, имеем  $\kappa_{\min} = (1 + mR / 2r)^2 (R/r)^2$ . В частности, если изображение объекта является кругом, то есть  $r = R$ , то  $\kappa_{\min} = (1 + m/2)^2$ .

Характеристики обнаружения при априори известной интенсивности фона и неизвестной интенсивности изображения объекта, движущегося в неизвестном направлении, могут быть получены как частный случай из найденных выше выражений. Действительно, в этом случае решение выносится на основе сравнения абсолютного максимума логарифма ФОП [5].

$$\begin{aligned}
L_{ma}(\varphi) &= \sup_a L_1(a, b_0, \varphi) - L_0(b_0) = \\
&= \left[ \int_0^T \int_{\Omega} \Xi(x, y, t) s_1(x - V_0 t \cos \varphi, y - V_0 t \sin \varphi) I_{06}(x - V_0 t \cos \varphi, y - V_0 t \sin \varphi) dx dy dt \right]^2 - \\
&\quad N_0 \int_0^T \int_{\Omega} s_1^2(x - V_0 t \cos \varphi, y - V_0 t \sin \varphi) I_{06}(x - V_0 t \cos \varphi, y - V_0 t \sin \varphi) dx dy dt \\
&\quad - \frac{2b_0}{N_0} \int_0^T \int_{\Omega} \Xi(x, y, t) v_1(x, y) I_{06}(x - V_0 t \cos \varphi, y - V_0 t \sin \varphi) dx dy dt + \\
&\quad + \frac{b_0^2}{N_0} \int_0^T \int_{\Omega} v_1^2(x, y) I_{06}(x - V_0 t \cos \varphi, y - V_0 t \sin \varphi) dx dy dt
\end{aligned} \tag{29}$$

с порогом  $h$  в соответствии с правилом (3), где  $L = \sup_{\varphi \in U} L_{ma}(\varphi)$ . Подставляя в (29) реализацию наблюдаемых данных (1), при  $s_1(x, y) = 1, v_1(x, y) = 1$  логарифм ФОП  $L_{ma}(\varphi)$  представим в виде

$$L_{ma}(\varphi) = [\gamma_0 z S(\varphi, \varphi_0) + N(\varphi)]^2 / 2. \tag{30}$$

Как следует из сопоставления логарифмов ФОП (4) и (30),  $L_m(\varphi) \rightarrow L_{ma}(\varphi)$  при  $k \rightarrow \infty$ , так как при неограниченном увеличении площади области наблюдения оценка интенсивности фона становится асимптотически точной. Тогда вероятности ошибок ложной тревоги  $\alpha_{ma}$  и пропуска объекта  $\beta_{ma}$  для МП алгоритма обнаружения движущегося в неизвестном направлении объекта при неизвестной интенсивности его изображения и известной интенсивности фона могут быть найдены как пределы выражений (19), (28) при  $k \rightarrow \infty$ :

$$\alpha_{ma} \approx 1 - \exp[-2m\sqrt{h/\pi} \exp(-h)], \tag{31}$$

при  $h \geq 1/2$ , и  $\alpha_m \approx 1$  при  $h < 1/2$ ,

$$\beta_{ma} \approx \exp[-2m\sqrt{h/\pi} \exp(-h)] \int_0^{\sqrt{2h}} \left[ 1 - \exp\left(\frac{x^2/2 - h}{1 + 1/z^2}\right) \right]^2 \exp\left(-\frac{x^2 + z^2}{2}\right) ch(zx) dx \tag{32}$$

при  $h \geq 1/2$ , и  $\beta_m \approx 0$  при  $h < 1/2$ .

Для сравнения приведем характеристики обнаружения изображения движущегося в неизвестном направлении объекта при априори известных интенсивностях его изображения и фона [4]:

$$\alpha \approx 1 - \exp[-mu \exp(-u^2/2) / \sqrt{2\pi}] \tag{33}$$

при  $u \geq 1$ , и  $\alpha \approx 1$  при  $u < 1$ ,

$$\beta \approx \exp \left[ -\mu u \exp(-u^2/2) / \sqrt{2\pi} \right] \left\{ \Phi(u-z) - 2 \exp(3z^2/2 - uz) \times \right. \\ \left. \times \Phi(u-2z) + \exp(4z^2 - 2uz) \Phi(u-3z) \right\}, \quad (34)$$

при  $u \geq l$  и  $\beta \approx 0$  при  $u < l$ , где  $u = h/z + z/2$  — нормированный порог. Здесь  $\Phi(x) = \int_{-\infty}^x \exp(-g^2/2) dg / \sqrt{2\pi}$  — интеграл вероятности.

Исследуем влияние априорного незнания интенсивностей изображения объекта и фона на характеристики обнаружения объекта, движущегося в неизвестном направлении. На рис. 1 показаны рассчитанные с использованием формул (32), (34) зависимости от ОСШ  $z$  проигрыша  $\chi_a = \beta_{ma} / \beta$  в величине вероятности пропуска движущегося в неизвестном направлении объекта, обусловленного априорным незнанием интенсивности его изображения при известной интенсивности фона. На рис. 2 показаны рассчитанные с использованием формул (28), (34) зависимости от ОСШ  $z$  проигрыша  $\chi = \beta_m / \beta$  в величине вероятности пропуска движущегося в неизвестном направлении объекта, обусловленного априорным незнанием интенсивностей его изображения и фона. Порог выбирался на основании критерия Неймана-Пирсона [8] с использованием формул (19), (31) и (33). Сплошные кривые соответствуют вероятностям ложной тревоги  $\alpha = \alpha_m = \alpha_{ma} = 10^{-1}$ , штриховые —  $\alpha = \alpha_{m1} = \alpha_{ma1} = 10^{-3}$ . Кривые 1 соответствуют  $m = 5$ , кривые 2 —  $m = 10$ , кривые 3 —  $m = 20$ . При построении кривых на рис. 2 предполагалось, что объект имеет форму круга и может двигаться в любом направлении в диапазоне углов  $[0, 2\pi]$ , поэтому значение  $k$  выбиралось равным  $k_{min}^* = (1 + m/2)^2$ .

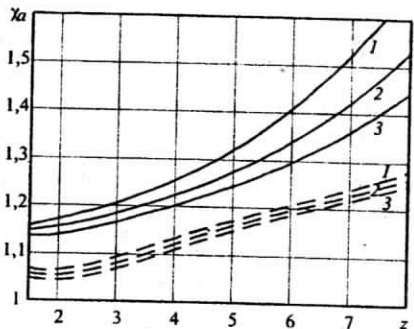


Рис. 1

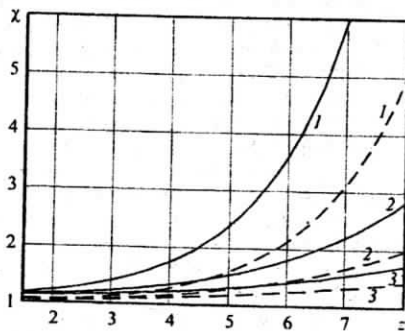


Рис. 2

Как следует из анализа кривых на рис. 1, при известной интенсивности фона применение максимально правдоподобного алгоритма обнаружения движущегося в неизвестном направлении объекта в условиях априорной неопределенности

ленности относительно интенсивности его изображения приводит к относительно небольшому проигрышу в эффективности обнаружения по сравнению со случаем, когда интенсивность изображения объекта априори известна. Из сравнения кривых на рис. 1 и 2 следует, что дополнительная априорная неопределенность относительно интенсивности фона может заметно снизить эффективность обнаружения при больших значениях отношениях сигнал/шум. Так, для  $m = 5$ ,  $\alpha = 10^{-1}$  и  $z = 7$  априорное незнание интенсивности изображения при известной интенсивности фона приводит к увеличению вероятности пропуска в 1,5 раза. Если к тому же неизвестна интенсивность фона, то вероятность пропуска возрастает в 6 раз. При этом увеличение вероятности пропуска объекта при фиксированной вероятности ложной тревоги наиболее существенно для небольших значений отношения площади области наблюдения к площади объекта  $K$ , которые возможны при малом числе разрешимых направлений движения  $m$ .

#### БИБЛИОГРАФИЧЕСКИЙ СПИСОК

1. Красильников Н.Н. Теория передачи и восприятия изображений / Н.Н. Красильников — М.: Радио и связь, 1986. — 248 с.
2. Бычков А.А. Обнаружение изображений пространственно-протяженных затеняющих фон объектов / А.А. Бычков, В.А. Понькин // Автометрия. — 1992. — Т.28. — №4. — С. 33–40.
3. Ковалев Г.С. Потенциальные возможности обнаружения и маскирования движущихся объектов на неравномерных фонах / Г.С. Ковалев, В.А. Понькин, И.В. Лаптев, В.В. Ефремов // Информационно-измерительные и управляющие системы. — 2003. — №4. — С. 24–29.
4. Трифонов А.П. Эффективность обнаружения изображения объекта, движущегося в неизвестном направлении / А.П. Трифонов, Р.В. Куцов // Известия вузов. Радиоэлектроника. — 2008. — №9. — С. 70–80.
5. Трифонов А.П. Обнаружение движущегося пространственно-протяженного объекта на фоне с неизвестной интенсивностью / А.П. Трифонов, Р.В. Куцов // Автометрия. — 2005. — Т.41. — №1. — С. 3–18.
6. Трифонов А.П. Обнаружение движущегося с произвольной скоростью объекта при неизвестных интенсивностях изображения и фона / А.П. Трифонов, Р.В. Куцов // Автометрия. — 2006. — Т.42. — №4. — С. 3–16.
7. Трифонов А.П. Совместное различение сигналов и оценка их параметров на фоне помех / А.П. Трифонов, Ю.С. Шинаков — М.: Радио и связь, 1986. — 268 с.
8. Акимов П.С. Теория обнаружения сигналов / П.С. Акимов, П.А. Бакут, В.А. Богданович и др.; под ред. П.А. Бакута — М.: Радио и связь, 1984. — 440 с.
9. Тихонов В.И. Статистическая радиотехника / В.И. Тихонов — М.: Сов. радио, 1966. — 680 с.
10. Трифонов А.П. Оценка местоположения точечной цели в зоне Френеля приемной антенны / А.П. Трифонов, С.И. Шарапов // Радиотехника и электроника. — 1984. — Т. 29. — № 2. — С. 242–249.
11. Куликов Е.И. Оценка параметров сигналов на фоне помех / Е.И. Куликов, А.П. Трифонов — М.: Сов. радио, 1978. — 296 с.